

ацетата марганца и процесса поликонденсации – оксида сурьмы (III). Последний в условиях синтеза способен восстанавливаться до металлической сурьмы, которая придает полимеру серый цвет и, находясь в виде вкраплений, в ряде случаев затрудняет дальнейшую переработку полимера.

Нами, совместно с сотрудниками ЦИЛ ОАО «Могилевхимволокно», исследованы другие катализаторы, имеющие достаточную стабильность, хорошую каталитическую активность и селективность при синтезах полиэфиров. Были выбраны Ti-содержащие катализаторы – тетрабутоксититан (ТБТ), тетроизопропоксититан (ТИТ) и диоксид титана на твердом носителе. Один из них – ТБТ используется в производстве другого полиэфира – полибутилентерефталата. Активность Ti-содержащих катализаторов в сравнении с ацетатом марганца / оксидом сурьмы оценивалась нами по свойствам получаемого ПЭТ – характеристической вязкости, количеству карбоксильных групп и температуре плавления. Избирательность действия катализаторов дополнительно анализировалась по составам метанола и этиленгликоля, отгоняемых в процессе синтеза. Полимер получали на лабораторной установке при одинаковых температурных и временных режимах.

Хроматографическим методом были идентифицированы примеси, находящиеся в «отгонах», и определены их количества. Оказалось, что Ti-содержащие катализаторы, в равной степени как и ацетат марганца / оксид сурьмы, способны активизировать побочные процессы с образованием ацетальдегида, диэтенгликоля, диоксана и др. соединений.

Исследования кинетики переэтерификации по количеству отгоняемого метанола показывают сопоставимую активность ацетата марганца, ТБТ и ТИТ. Но расход первого был значительно ниже, что подтверждает целесообразность его промышленного использования.

При замене катализатора процесса поликонденсации –  $Sb_2O_3$  на титановые катализаторы выявлено, что оксид титана на твердом носителе недостаточно активен (это может быть связано с его гетерогенностью в реакционной среде), полимер получается с низкой вязкостью и большим числом карбоксильных групп. Тетрабутоксититан и тетраизопропоксититан вполне применимы вместо  $Sb_2O_3$ , причем, их количество для получения полимера с заданными свойствами в 3 раза меньше, чем оксида сурьмы.

УДК 547.29-314:544.31:543.544.3

## КОРРЕЛЯЦИЯ МЕЖДУ ХРОМАТОГРАФИЧЕСКИМИ ВРЕМЕНАМИ УДЕРЖИВАНИЯ И ЭНТАЛЬПИЯМИ ИСПАРЕНИЯ ЛАКТОНОВ

Е.Н. Степурко<sup>a</sup>, Г.Н. Роганов<sup>a</sup>, В.Н. Емельяненко<sup>b</sup>, С.П. Веревкин<sup>b</sup>

<sup>a</sup>Могилевский государственный университет продовольствия

г. Могилев, Республика Беларусь

<sup>b</sup>Университет города Ростока

г. Росток, Германия

Реализован метод оценки неизвестных и верификации полученных экспериментально значений энталпий испарения лактонов, основанный на корреляции времен удерживания ( $\tau$ ) с известными величинами  $\Delta_{исп}H$ . Определение времен удерживания проводилось в изотермическом режиме (интервал температур 200-250°C)

на хроматографе Hewlett Packard Integrator 3390A с пламенно-ионизационным детектором, газ-носитель – азот, входное давление 138 кПа, капиллярная колонка HP-VOC/MS 60 м × 3.2 мм × 1.8  $\mu\text{м}$ . Температуры испарителя и детектора составляли 250<sup>0</sup>С. Угол наклона прямой зависимости  $\ln(\tau)$  лактона от обратной температуры условий хроматографирования ( $1/T$ ) пропорционален величине энталпии перехода вещества из раствора в газ  $\Delta_{\text{раст}}^r H_m$  и описывается уравнением  $\ln(\tau) = a + b/T$ . В свою очередь,  $\Delta_{\text{раст}}^r H_m$  пропорциональна энталпии испарения. Таким образом, описанная выше корреляция позволяет оценить степень согласованности полученных экспериментально величин  $\Delta_{\text{исп}}H$ , а также выполнить прогнозную оценку  $\Delta_{\text{исп}}H$  для соединений не изученных экспериментально.

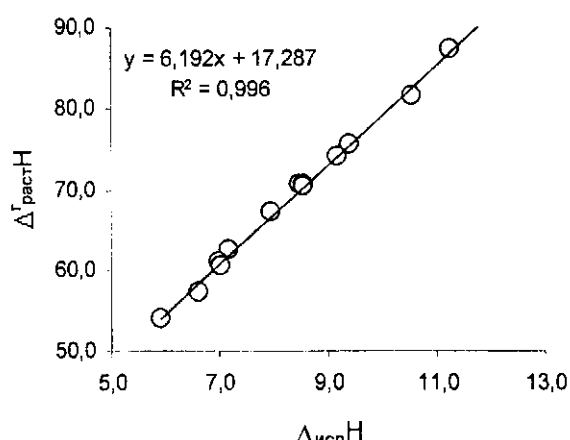


График зависимости энталпий перехода из раствора в газ от энталпий испарения лактонов

Времена удерживания были измерены для 13 лактонов различного строения, в качестве растворителя («несорбирующего» компонента) использовался дихлорметан. Полученная зависимость (см. рис.) имела вид:  $\Delta_{\text{исп}}H = 6.21 \cdot \Delta_{\text{раст}}^r H_m + 17.28$ . Полученные результаты указывают на взаимную согласованность величин энталпий испарения лактонов, экспериментально полученных нами, а также дают возможность прогнозирования  $\Delta_{\text{исп}}H$  для еще неизученных соединений со средней погрешностью  $\pm 0.43 \text{ кДж}\cdot\text{моль}^{-1}$ .

Соединение	a	$\Delta_{\text{раст}}^r H_m$	$\Delta_{\text{исп}}H_{\text{эксп}}$	$\Delta_{\text{исп}}H_{\text{расч}}$	$\Delta$	$R^2$ зависимости $\ln(\tau)$ от $1/T$
$\gamma$ -пентанолактон	-714.69	5.94	$53.88 \pm 0.19$	54.08	0.20	0.9998
$\gamma$ -гептанолактон	-865.92	7.20	$62.30 \pm 0.29$	61.87	0.43	0.9996
$\gamma$ -деканолактон	-1130.2	9.40	$75.60 \pm 0.29$	75.48	0.12	0.9997
$\gamma$ -гексанолактон	-798.56	6.64	$57.15 \pm 0.28$	58.40	1.25	0.9995
$\gamma$ -нонанолактон	-1027.9	8.55	$70.30 \pm 0.28$	70.21	0.09	0.9994
$\delta$ -гексанолактон	-842.41	7.00	$60.95 \pm 0.11$	60.66	0.29	0.9998
$\delta$ -октанолактон	-956.38	7.95	$67.04 \pm 0.21$	66.53	0.51	0.9995
$\delta$ -нонанолактон	-1017.9	8.46	$70.71 \pm 0.37$	69.69	1.02	0.9999
$\delta$ -деканолактон	-1105.6	9.19	$74.20 \pm 0.25$	74.21	0.01	0.9995
$\epsilon$ -капролактон	-844.26	7.02	$60.50 \pm 0.80$	60.75	0.25	0.9994
$\xi$ -пентадеканолактон	-1270.6	10.56	$81.60 \pm 0.25$	82.70	1.10	0.9996
о-гексадеканолактон	-1356.2	11.28	$87.20 \pm 1.50$	87.11	0.09	0.9994
$\pi$ -гептадеканолактон	-1424.0	11.84	---	90.60	---	0.9994